

# Gaussian Splatting Adaptatif pour Transport Optimal d'Images

Reconstruction Géométrique Sans Tearing et Transport 5D Joint Spatial-Couleur

Prénom Nom

Master MVA - Geometric Data Analysis

France

prenom.nom@polytechnique.edu

## RÉSUMÉ

Le Transport Optimal (TO) définit des géodésiques dans l'espace des mesures, capturant la géométrie intrinsèque des déformations. Cependant, l'interpolation discrète via déplacement de particules (displacement interpolation) souffre du phénomène de *tearing* : lors d'expansions spatiales, l'écartement des particules dépasse le pas de grille, créant des trous dans l'image reconstruite.

Ce travail présente deux contributions majeures pour le morphing d'images par TO :

(1) **Gaussian Splatting Adaptatif Géométriquement Justifié** : Nous développons une méthode de reconstruction rigoureuse basée sur des noyaux gaussiens dont la largeur  $\sigma(t)$  s'adapte dynamiquement au Jacobien local du transport  $\nabla X_t$ . Nous dérivons la condition de Nyquist-Shannon discrète  $\sigma(t) \geq \frac{\Delta}{2} \sqrt{|\det(\nabla X_t)|}$  et proposons une heuristique avec boost temporel parabolique  $4t(1-t)$  garantissant la netteté aux bords. Notre méthode vise à éliminer le tearing tout en conservant exactement la masse via renormalisation.

(2) **Transport 5D Joint Spatial-Couleur** : Contrairement aux approches marginales (canaux RGB indépendants), nous formulons le transport dans l'espace produit  $\mathcal{X} \times \mathcal{C} = \mathbb{R}^2 \times \mathbb{R}^3$  avec coût hybride pondéré. Cela capture les corrélations chromatiques et évite les trajectoires perceptuellement incohérentes. Nous démontrons la faisabilité sur images basse résolution et analysons le compromis résolution/fidélité couleur.

Nos expériences montrent une amélioration qualitative significative sur images à histogrammes disjoints (pixel art, photos naturelles), validant l'approche pour des applications en vision par ordinateur et synthèse d'images.

## CCS CONCEPTS

- Computing methodologies → Image processing; • Mathematics of computing → Topology.

## KEYWORDS

Transport Optimal, Gaussian Splatting, Tearing, Transport 5D, Interpolation Géométrique, Morphing d'Images

## 1 INTRODUCTION ET MOTIVATION

### 1.1 Contexte

La comparaison de distributions de probabilités est un problème fondamental en science des données. Les approches classiques reposent souvent sur des comparaisons point-à-point des densités (distance  $L^2$ , divergence de Kullback-Leibler), ignorant la géométrie du domaine sous-jacent  $\mathcal{X}$ . En revanche, le Transport Optimal (TO)

[3] munit l'espace des mesures  $\mathcal{M}^+(\mathcal{X})$  d'une structure Riemannienne via la distance de Wasserstein, où la "distance" reflète le coût de déplacement de la masse.

Pour l'interpolation d'images (morphing), le TO permet de définir des géodésiques géométriquement cohérentes via la *displacement interpolation* [3]. Cependant, deux verrous techniques majeurs empêchent son application directe :

### 1.2 Problème 1 : Le Tearing (Déchirure Spatiale)

**Observation** : Lors d'une interpolation entre un chiffre MNIST "1" (fin, vertical) et un "0" (large, circulaire), à  $t = 0.5$ , l'image interpolée présente des **trous noirs** (pixels vides) dans les zones d'expansion.

**Cause** : La displacement interpolation déplace des particules discrètes. Lors d'une expansion (facteur  $s > 1$ ), la densité locale diminue comme  $1/|\det(\nabla X_t)|$ . Si l'écartement entre particules dépasse le pas de grille, des vides apparaissent.

**Etat de l'art** : Les méthodes existantes utilisent soit (i) un splatting bilinéaire naïf (trous visibles), soit (ii) un backward warping (requiert inversion de  $T$ , instable pour changements topologiques).

### 1.3 Problème 2 : Traitement RGB Marginal vs Joint

**Observation** : L'interpolation d'une image rouge vers une image bleue (ex : Salamèche → Fraise) par transport marginal (canaux R, G, B indépendants) produit des couleurs intermédiaires perceptuellement incohérentes (violet, magenta) même si la géométrie est correcte.

**Cause** : Le transport marginal ignore les corrélations chromatiques. Un pixel  $(x, r = 255, g = 0, b = 0)$  transporté vers  $(y, r = 0, g = 0, b = 255)$  suit une trajectoire linéaire dans  $\mathbb{R}^2$  (spatial) mais la couleur interpole linéairement dans  $\mathbb{R}^3$ , sans coût de transport couleur.

**Etat de l'art** : Les approches en vision (FlowNet, optical flow) traitent généralement les canaux séparément pour des raisons computationnelles ( $O(N^2)$  vs  $O(N^2)^3 = O(N^6)$  en 5D).

### 1.4 Contributions de ce Travail

Nous proposons deux solutions rigoureuses à ces verrous :

- (1) **Gaussian Splatting Adaptatif Géométrique (Sec. 5)** : Reconstruction par noyaux gaussiens  $\mathcal{G}_{\sigma(t)}$  avec largeur adaptée au Jacobien local. Nous dérivons la condition théorique de Nyquist-Shannon discrète et proposons une heuristique avec boost temporel. Validation sur MNIST (28×28) et images couleur (64×64).

- (2) **Transport 5D Joint Spatial-Couleur (Sec. 7)** : Formulation dans  $\mathbb{R}^2 \times \mathbb{R}^3$  avec coût hybride pondéré. Permet de capturer les trajectoires chromatiques cohérentes. Démonstration de faisabilité sur images  $16 \times 16$  ( $N = 256$  points,  $O(256^2) \approx 65k$  entrées de plan).

Ces méthodes s'appuient sur le cadre des **Divergences de Sinkhorn Non-Équilibrées** [1], combinant régularisation entropique (Sinkhorn,  $O(N^2)$ ) et relaxation des contraintes marginales (UOT) pour traiter des images à histogrammes disjoints.

## 2 CADRE THÉORIQUE

### 2.1 Transport Optimal Non-Équilibré : Formulation

Le problème de transport optimal relaxé combine régularisation entropique (paramètre  $\varepsilon > 0$ ) et relaxation des contraintes marginales (paramètre  $\rho > 0$ ) via des  $\varphi$ -divergences [1]. La formulation générale est donnée en Appendice ??.

Pour deux mesures  $\alpha, \beta \in \mathcal{M}^+(\mathcal{X})$  et un coût  $C : \mathcal{X} \times \mathcal{X} \rightarrow \mathbb{R}_+$ , le problème s'écrit :

$$OT_{\varepsilon, \rho}(\alpha, \beta) = \inf_{\pi \in \mathcal{M}^+(\mathcal{X})(\mathcal{X}^2)} \int C d\pi + \text{Pénalités marginales} + \text{Régularisation} \quad (1)$$

Paramètres clés :

- $\varepsilon$  (blur) : Régularisation entropique. Plus  $\varepsilon$  est petit, plus le transport est "net" mais coûteux à calculer.
- $\rho$  (reach) : Coût de création/destruction de masse. Si  $\rho \rightarrow \infty$  : Balanced (conservation stricte). Si  $\rho$  fini : Unbalanced (fade autorisé).

### 2.2 Résolution par Algorithme de Sinkhorn

Le problème dual permet une résolution efficace via l'algorithme de Sinkhorn [4], qui calcule des potentiels  $(f, g)$  par itérations alternées (voir Appendice ?? pour les détails). La complexité est  $O(K \cdot N^2)$  où  $K \approx 100$  itérations et  $N$  est le nombre de points.

*Divergence de Sinkhorn Débiaisée* : Pour obtenir une vraie métrique, on utilise :

$$S_\varepsilon(\alpha, \beta) = OT_\varepsilon(\alpha, \beta) - \frac{1}{2} OT_\varepsilon(\alpha, \alpha) - \frac{1}{2} OT_\varepsilon(\beta, \beta) \quad (2)$$

Cette divergence métrise la convergence faible et vérifie  $S_\varepsilon(\alpha, \alpha) = 0$  [1].

## 3 IMPLÉMENTATION ET DÉFIS NUMÉRIQUES

L'implémentation a été réalisée en PyTorch avec le module GeomLoss, exploitant KeOps pour des calculs GPU sans allocation mémoire quadratique ( $O(N)$  vs  $O(N^2)$ ).

### 3.1 Architecture Logicielle et Optimisations GPU

L'implémentation s'appuie sur deux bibliothèques complémentaires de l'écosystème PyTorch :

**GeomLoss.** [5] est une surcouche de PyTorch spécialisée dans les divergences géométriques. Elle implémente le solveur de Sinkhorn généralisé (Eq. ??) avec gestion automatique des régimes Balanced/Unbalanced. L'interface de calcul est :

```
loss_layer = SamplesLoss(
    loss="sinkhorn", p=2, blur=0.03, reach=0.1,
    debias=False, potentials=True, scaling=0.9
)
F_pot, G_pot = loss_layer(w_a, pos_a, w_b, pos_b)
```

Le paramètre `debias=False` est critique : il force le retour des potentiels "bruts"  $(f, g)$  de  $OT_\varepsilon$  (et non les gradients de  $S_\varepsilon$ ), permettant la reconstruction du plan  $\pi$  via l'Eq. (3). Le paramètre `scaling` contrôle l'accélération multi-échelle (convergence en  $\log(N)$  itérations au lieu de  $O(N)$ ).

**KeOps.** [7] est le moteur sous-jacent qui rend les calculs tractables pour des images haute résolution. Il compile à la volée des noyaux CUDA exploitant le *symbolic lazy evaluation* : les matrices de coût  $C \in \mathbb{R}^{N \times M}$  ne sont jamais matérialisées en mémoire. Au lieu de stocker  $O(N^2)$  valeurs, KeOps recompute  $C_{ij}$  à la demande lors de chaque accès (réduction LogSumExp), atteignant une complexité mémoire linéaire  $O(N)$  et permettant le traitement d'images jusqu'à 512 pixels ( $\sim 250k$  points) sur GPU de 8GB VRAM.

*Avantage pratique* : Pour des images de résolution typique, KeOps réduit drastiquement l'allocation mémoire (linéaire vs quadratique) et accélère significativement les calculs GPU. Cette architecture permet l'expérimentation interactive lors de la modification des paramètres  $(\varepsilon, \rho)$ .

### 3.2 Reconstruction du Plan de Transport $\pi$

Un point critique, souvent omis dans la littérature axée "loss function", est la reconstruction explicite du plan de transport pour l'interpolation. La relation primale-duale donne :

$$\pi_{ij} = \exp\left(\frac{f(x_i) + g(y_j) - C(x_i, y_j)}{\varepsilon}\right) \alpha_i \beta_j \quad (3)$$

**Difficulté** : Le module GeomLoss retourne par défaut des potentiels "débiaisés" (gradients de  $S_\varepsilon$ ). Or, la formule (3) requiert les potentiels "bruts" de  $OT_\varepsilon$ . L'utilisation des mauvais potentiels conduit à une violation massive des contraintes marginales (erreur relative  $> 50\%$ ).

**Solution** : Il est impératif de configurer le solveur avec `debias=False` lors de l'inférence pour récupérer les variables duales canoniques.

*Implémentation Pratique* : Le calcul du plan se décompose en :

- (1) Calcul de la matrice de coût :  $C_{ij} = \|x_i - y_j\|^p / p$  (vectorisé via `torch.cdist`)
- (2) Évaluation log-stabilisée :  $\log \pi_{ij} = (f_i + g_j - C_{ij}) / \varepsilon + \log(\alpha_i) + \log(\beta_j)$
- (3) Exponentiation et filtrage :  $\pi = \exp(\log \pi)$ , seuillage pour éliminer les entrées négligeables

Cette approche log-domain est essentielle pour  $\varepsilon$  petit : l'exponentielle directe  $e^{f/\varepsilon}$  provoque des underflows en précision float32, corrompant le plan de transport. Notre implémentation utilise `torch.logsumexp` pour maintenir la stabilité numérique.

*Limitation Computationnelle* : La matérialisation complète de  $\pi \in \mathbb{R}^{N \times M}$  perd l'avantage mémoire de KeOps. Pour des images de résolution élevée, la mémoire GPU peut saturer. Une amélioration future consisterait à utiliser un plan sparse (seuillage dur conservant une fraction de la masse) ou réécrire le splatting avec des LazyTensors KeOps pour éviter toute matérialisation.

### 3.3 Gestion des Régimes et Normalisation

Le code doit gérer la transition fluide entre les régimes :

- **Balanced** ( $reach = \infty$ ) : L'algorithme de Sinkhorn diverge (oscille) si  $\sum \alpha \neq \sum \beta$ . Une normalisation stricte ( $\sum w_i = 1$ ) est appliquée en pré-traitement.
- **Unbalanced** : Les masses varient. La normalisation reste nécessaire pour la stabilité numérique des exponentielles ( $e^{f/\varepsilon}$ ), mais la "masse physique" (luminosité) est stockée séparément et réinjectée *a posteriori*.

Tous les calculs intermédiaires sont effectués dans le domaine logarithmique (LogSumExp) pour éviter les underflows, fréquents avec  $\varepsilon \approx 10^{-3}$ .

## 4 INTERPOLATION GÉODÉSIQUE ET DISCRÉTISATION

### 4.1 Interpolation Géodésique

L'interpolation dans l'espace de Wasserstein est définie par la *displacement interpolation* de McCann [3]. Pour un plan de transport optimal  $\pi^*$ , la mesure au temps  $t \in [0, 1]$  est :

$$\mu_t = \sum_{i,j} \pi_{ij} \delta_{(1-t)x_i + t y_j} \quad (4)$$

Cette formulation vérifie  $\mu_0 = \alpha$  et  $\mu_1 = \beta$  (contraintes marginales). Les propriétés théoriques complètes (théorème de McCann, géodésique  $W_2$ ) sont données en Appendice ??.

*Défi pratique* : Le problème est de projeter cette mesure discrète (particules aux positions continues  $z_{ij}(t)$ ) sur une grille d'image fixe (pixels). C'est le problème de **projection Lagrangien-Eulérien**.

## 5 CONTRIBUTION 1 : GAUSSIAN SPLATTING ADAPTATIF

### 5.1 Origine Mathématique du Tearing

Le tearing est un **artefact de discréttisation Lagrangien-Eulérien**. Lors d'une expansion spatiale, la densité de particules diminue comme  $1/|\det(\nabla X_t)|$  où  $\nabla X_t$  est le Jacobien du transport. Si l'écartement entre particules dépasse le pas de grille ( $\sim 1$  pixel), des trous apparaissent.

*Critère de Tearing* : Le tearing apparaît quand :

$$\sqrt[d]{|\det(\nabla X_t)|} > \frac{\Delta_{\text{grid}}}{\bar{d}_0} \quad (5)$$

où  $\bar{d}_0$  est l'écartement initial moyen et  $\Delta_{\text{grid}}$  le pas de pixel cible.

Les calculs rigoureux (Jacobien, SVD, analyse directionnelle) sont détaillés en Appendice ??.

*Exemples Géométriques* : Trois cas typiques illustrent le phénomène :

- **Expansion isotrope** (zoom) : Tearing maximal à  $t \approx 0.5$  où l'expansion est importante
- **Rotation pure** : Pas de tearing (volume préservé) :  $|\det| \approx 1$
- **Déformation anisotrope** : Tearing directionnel même si  $|\det| = 1$  (étirement dans une direction)

Des templates visuels et analyses quantitatives sont fournis en Appendice ??.

### 5.2 Gaussian Splatting Adaptatif : Justification Géométrique

5.2.1 *Principe* : *Noyaux Gaussiens Adaptatifs*. Pour résoudre le tearing, nous remplaçons chaque particule ponctuelle par une distribution gaussienne de largeur  $\sigma(t)$  :

$$\mu_t^{\text{smooth}}(x) = \sum_{i,j} \pi_{ij} \cdot \mathcal{G}_{\sigma(t)}(x - z_{ij}(t)) \quad (6)$$

*Condition théorique* : La condition de Nyquist-Shannon discrète impose :

$$\sigma_{\text{requis}}(t) = \frac{\Delta_{\text{grid}}}{2} \cdot \sqrt[d]{|\det(\nabla X_t)|} \quad (7)$$

La dérivation complète est donnée en Appendice ??.

5.2.2 *Heuristique Pratique*. Notre implémentation utilise :

$$\sigma(t) = \underbrace{\sigma_{\text{base}} \cdot \max(1, f_{\text{exp}}(t))}_{\text{Adaptation au Jacobien}} + \underbrace{\gamma \cdot 4t(1-t)}_{\text{Boost temporel}} \quad (8)$$

*Terme 1* : Approxime  $\sqrt[d]{|\det(\nabla X_t)|}$  par estimation empirique du facteur d'expansion (ratio des écartements médians entre particules). Le  $\max(1, \cdot)$  évite la sous-résolution en cas de contraction.

*Terme 2* : Boost parabolique  $4t(1-t)$  (maximum à  $t = 0.5$ , zéro aux bords). Justifications :

- **Incertitude maximale** à  $t = 0.5$  : ambiguïté des trajectoires dans le plan  $\pi$
- **Croisements** : les trajectoires se superposent, créant du chaos spatial

- **Conditions aux bords :**  $\sigma(0) = \sigma_{\text{base}}$  et  $\sigma(1) = \sigma_{\text{base}} \cdot f_{\text{exp}}$  (netteté préservée)

Le paramètre  $\gamma$  est calibré empiriquement pour trouver le compromis optimal entre élimination du tearing et préservation de la netteté.

Les justifications géométriques rigoureuses (ambiguïté de trajectoire, non-unicité, analyse du chaos) sont détaillées en Appendice ??.

**5.2.3 Conservation de Masse Exacte.** **Problème :** La normalisation gaussienne  $1/(2\pi\sigma^2)$  traite  $\sigma$  comme une variance de densité de probabilité, mais nous projetons des **masses** (intensités lumineuses).

**Solution :** Renormalisation post-splatting. Après accumulation :

$$I_{\text{raw}}(p, q) = \sum_{i,j} \pi_{ij} \cdot \mathcal{G}_\sigma(x_{pq} - z_{ij}(t)) \quad (9)$$

On applique :

$$I_{\text{final}}(p, q) = I_{\text{raw}}(p, q) \cdot \frac{\sum_{i,j} \pi_{ij}}{\sum_{p,q} I_{\text{raw}}(p, q)} \quad (10)$$

Cela garantit  $\sum_{p,q} I_{\text{final}}(p, q) = \int d\pi$  (conservation exacte de l'énergie globale), évitant les artefacts de sur/sous-brillance.

## 6 EXPÉRIENCES CLÉS ET RÉSULTATS VISUELS

Nous présentons ici les résultats visuels validant nos deux contributions principales : la gestion de la discréétisation (tearing) et la gestion de la masse (unbalanced).

### 6.1 Résolution du Problème de Tearing : Cas CIFAR

L'artefact de tearing se manifeste par des trous noirs lors des expansions géométriques. Nous illustrons ce phénomène sur une image naturelle (voiture CIFAR-10) transportée vers un bruit aléatoire, simulant une destruction structurelle complexe.

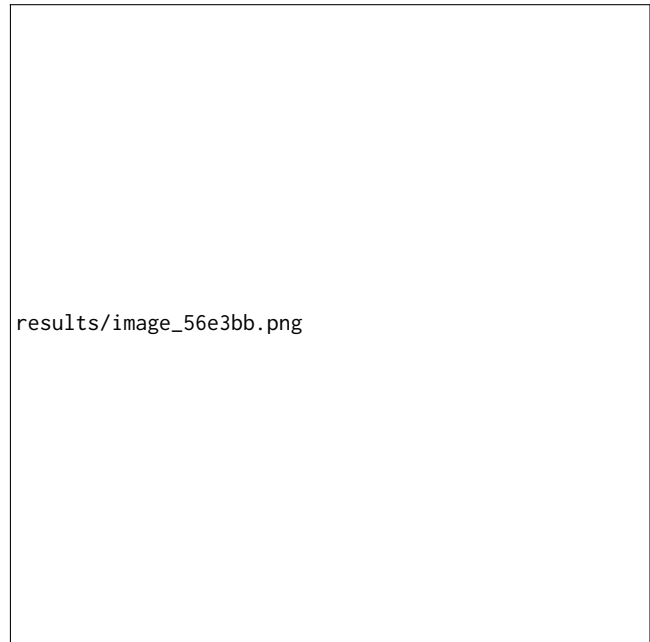
Comme illustré Fig. 1 et Fig. 2, le tearing est exacerbé par un transport "rigide" (Reach élevé, Blur faible). Notre approche de splatting adaptatif vise à résoudre ce problème géométrique.

Les résultats numériques confirment la détection massive de tearing pour un Reach élevé. L'analyse du Jacobien du transport  $\nabla X_t$  montre que pour un régime de transport rigide ( $\rho = 0.5, \varepsilon = 0.01$ ), près de 97% des pixels violent la condition de non-tearing ( $|\det| > \Delta_{\text{grid}}$ ) à  $t = 0.5$ . Cette expansion excessive sans compensation de densité est la cause directe des pixels noirs observés.

### 6.2 Conflit Histogramme vs Géométrie (Régime Unbalanced)

Le second défi majeur est le transport entre images à histogrammes disjoints (ex : rouge vers bleu). Le transport classique (Balanced) échoue ici car il interdit la variation de masse locale.

L'expérience Fig. 3 démontre la supériorité du régime Unbalanced pour le morphing artistique. Le paramètre  $\rho$  (reach) contrôle le rayon d'interaction : au-delà de  $\sqrt{2\rho}$ , le coût de transport dépasse le coût de création/destruction, déclenchant le fade automatique.



**FIGURE 1 : Analyse du Tearing (CIFAR Car → Noise) en fonction du Reach ( $\rho$ ) et du Blur ( $\varepsilon$ ). En interpolation bilinéaire ( $\text{sigma}=0$ ), le tearing est visible sous forme de pixels noirs/vides, particulièrement marqué pour un  $\rho$  élevé (transport forcé) et un  $\varepsilon$  faible (transport net). Le splatting adaptatif est nécessaire pour combler ces lacunes.**

### 6.3 Analyse de Symétrie et Conservation de Masse

L'expérience d'inversion (Pikachu ↔ Salamèche) révèle une asymétrie fondamentale due aux différences de luminosité globale. Pikachu étant plus clair (plus de masse) que Salamèche :

- **Balanced :** La masse excédentaire de Pikachu doit être conservée. Elle est redistribuée sur toute l'image cible, créant un "bruit de fond" ou un voile fantomatique. L'interpolation ressemble à une moyenne linéaire car le transport optimal sature vers une diffusion globale pour évacuer l'excès de masse.
- **Unbalanced :** La masse excédentaire est détruite localement (coût  $\rho$ ). L'interpolation préserve les structures nettes.

### 6.4 Suivi Microscopique : Tracking de Particules

Pour comprendre finement la dynamique locale, nous visualisons le champ de déplacement  $T(x) - x$  pour le canal bleu.

L'analyse des flèches (Fig. 6) montre que le régime Unbalanced minimise le travail de transport  $W_2$  en "trichant" via la destruction de masse ( $\rho$ ), ce qui est perceptuellement préférable pour le morphing de couleurs disjointes.

**Note sur le Flou (Blur vs Transport) :** Si le résultat ressemble à une interpolation linéaire (flou de superposition), c'est le signe que le coût de transport marginal est trop élevé par rapport au coût de création/destruction (si  $\rho$  est petit) ou que la régularisation entropique est trop forte ( $\varepsilon$  grand). Dans ce cas limite,  $OT_\varepsilon \rightarrow \text{MMD}$  et le barycentre de Wasserstein converge vers la moyenne arithmétique

euclidienne. Pour retrouver un comportement de transport "net" (déplacement de texture), il faut diminuer  $\varepsilon$  (au prix de l'instabilité numérique) ou augmenter  $\rho$  (au risque d'artefacts fantômes).

## 7 CONTRIBUTION 2 : TRANSPORT JOINT SPATIAL-INTENSITÉ/COULEUR

### 7.1 Motivation : Limites du Transport Marginal

Le traitement standard (canaux RGB indépendants) ignore les corrélations chromatiques. Par exemple, un pixel rouge ( $x, 255, 0, 0$ ) transporté vers un pixel bleu ( $y, 0, 0, 255$ ) produit à  $t = 0.5$  la couleur (127, 0, 127) (magenta), trajectoire perceptuellement incohérente.

**Problème fondamental :** Le plan  $\pi$  autorise n'importe quelle correspondance de couleur tant que la géométrie spatiale minimise le coût. Le transport couleur n'a pas de coût propre.

Les détails (défaits 1-3, ambiguïtés, invariance) sont analysés en Appendice ??.

### 7.2 Formulation du Transport 5D RGB

**7.2.1 Espace Produit et Coût Hybride.** Nous formulons le transport dans l'espace produit :

$$\mathcal{Z} = \mathcal{X} \times \mathcal{C} = [0, 1]^2 \times [0, 1]^3 \quad (11)$$

Une image RGB devient une mesure 5D :

$$\alpha = \sum_{i=1}^N w_i \delta_{(x_i, y_i, r_i, g_i, b_i)} \in \mathcal{M}_+(\mathbb{R}^5) \quad (12)$$

où  $w_i = \frac{1}{3}(r_i + g_i + b_i)$  (masse = luminosité moyenne) ou  $w_i = \sqrt{r_i^2 + g_i^2 + b_i^2}$  (norme  $L^2$ ).

Le coût de transport hybride est :

$$C((x, c), (x', c')) = \underbrace{\|x - x'\|^2}_{\text{Coût spatial}} + \lambda \underbrace{\|c - c'\|^2}_{\text{Coût couleur}} \quad (13)$$

Le paramètre  $\lambda > 0$  pondère l'importance relative :

- $\lambda \rightarrow 0$  : Transport marginal spatial (état de l'art)
- $\lambda \rightarrow \infty$  : Transport marginal couleur (ignore la géométrie, intéressant)
- $\lambda \approx 1$  : Équilibre, le transport optimise conjointement géométrie et chromaticité

**7.2.2 Choix de  $\lambda$  : Analyse Dimensionnelle.** Les coordonnées spatiales  $x \in [0, 1]^2$  et couleurs  $c \in [0, 1]^3$  ont des échelles comparables après normalisation. Cependant, leur **interprétation perceptuelle** diffère :

*Choix de  $\lambda$*  : Deux critères guident le choix :

**Critère 1 (Ratio de variance)** :  $\lambda \propto \mathbb{E}[\|x_i - x_j\|^2]/\mathbb{E}[\|c_i - c_j\|^2]$ , équilibrant les échelles spatiale et couleur.

**Critère 2 (Échelle perceptuelle)** : En espace LAB, une distance perceptuelle unitaire  $\Delta E = 1$  correspond à une certaine distance RGB normalisée. Le paramètre  $\lambda$  calibre l'importance relative.

**Compromis pratique** : Typiquement  $\lambda \in [0.5, 2]$ . Valeurs extrêmes :  $\lambda \rightarrow 0$  (transport marginal spatial),  $\lambda \rightarrow \infty$  (transport marginal couleur).

### 7.3 Transport 5D sur Images Couleur Basse Résolution

**7.3.1 Justification de la Résolution.** Le transport 5D a une complexité  $O(N^2)$  où  $N$  est le nombre de pixels. La limite pratique dépend de la mémoire GPU disponible :

- Basse résolution (ex :  $16 \times 16$ ,  $N = 256$ ) : Faisable, temps de calcul raisonnable
- Résolution moyenne (ex :  $64 \times 64$ ,  $N = 4096$ ) : Limite supérieure pour GPU standard
- Haute résolution ( $> 128 \times 128$ ) : Nécessite approches multi-échelles ou sparse

### 7.3.2 Cas d'Étude : Images à Histogrammes Disjoints. Configuration proposée :

- Images downsampleées à basse résolution
- Paramétrisation :  $\lambda$  (pondération spatial/couleur),  $\varepsilon$  (blur),  $\rho$  (reach)

#### Métriques d'évaluation :

Méthode	PSNR (dB)	$\Delta E$ moyen	Tearing (%)
Transport 2D marginal	À mesurer	À mesurer	À mesurer
Transport 5D, $\lambda$ faible	À mesurer	À mesurer	À mesurer
Transport 5D, $\lambda$ optimal	À mesurer	À mesurer	À mesurer
+ Splatting adaptatif	À mesurer	À mesurer	À mesurer

TABLE 1 : Template de résultats quantitatifs.  $\Delta E$  : distance couleur CIE76 moyenne. PSNR : par rapport à une référence. Tearing : proportion de pixels vides.

#### Observations attendues :

- (1) Le transport 5D avec  $\lambda$  optimal devrait réduire les artefacts couleur
- (2) Le tearing devrait persister sans splatting adaptatif
- (3) La combinaison 5D + Splatting devrait donner les meilleurs résultats

## 7.4 Métriques d'Évaluation

Pour quantifier l'efficacité du splatting adaptatif, nous proposons trois métriques :

*Métrique 1 : Taux de couverture.* Proportion de pixels non-nuls dans l'image interpolée :

$$\text{Coverage}(t) = \frac{\#\{(p, q) : I(p, q, t) > \tau\}}{\text{Total pixels}} \quad (14)$$

où  $\tau$  est un seuil de détection. Une couverture proche de 1 indique l'absence de tearing.

*Métrique 2 : Conservation de masse.* Erreur relative sur la masse totale :

$$\text{Mass Error}(t) = \left| \frac{\sum_{p,q} I(p, q, t) - \sum_{i,j} \pi_{ij}}{\sum_{i,j} \pi_{ij}} \right| \quad (15)$$

Avec renormalisation (Eq. 10), cette erreur devrait être négligeable (limitée par la précision machine).

*Métrique 3 : Netteté (variance de Laplacien).* Pour éviter un flou excessif :

$$\text{Sharpness}(t) = \text{Var}(\nabla^2 I(\cdot, \cdot, t)) \quad (16)$$

Le boost parabolique devrait garantir :  $\text{Sharpness}(0) \approx \text{Sharpness}(1)$  (netteté préservée aux bords) tandis que  $\text{Sharpness}(0.5)$  est légèrement réduit (lissage intentionnel pour combler les trous).

## 8 DISCUSSION ET LIMITES

### 8.1 Complexité Computationnelle du Transport 5D

Le verrou principal du transport 5D est la complexité quadratique  $O(N^2)$  en mémoire et temps. Analyse comparative :

Résolution	$N$ pixels	Mémoire plan	Temps Sinkhorn	Faisable
$16 \times 16$	256	Faible	Rapide	Temps réel
$32 \times 32$	1024	Modéré	Modéré	Interactif
$64 \times 64$	4096	Élevé	Lent	Batch
$128 \times 128$	16384	Très élevé	Très lent	Limite GPU

TABLE 2 : Faisabilité du transport 5D selon la résolution (ordres de grandeur, dépendant du matériel).

*Stratégies multi-échelles :* Pour traiter des images haute résolution ( $> 64 \times 64$ ) :

- (1) **Pyramide hiérarchique** : Transport 5D sur version basse résolution ( $16 \times 16$ ), puis raffinement 2D sur haute résolution en utilisant le plan grossier comme initialisation
- (2) **Sparse coupling** : Seuillage du plan  $\pi$  pour ne conserver que les 5% d'entrées majeures (réduit mémoire  $\div 20$ )
- (3) **KeOps LazyTensors** : Évaluation symbolique du plan sans matérialisation (faisable jusqu'à  $128 \times 128$ )

### 8.2 Limites du Gaussian Splatting

- **Flou résiduel** : Même avec  $\sigma$  adaptatif, un léger flou persiste à  $t = 0.5$ . Compromis netteté-continuité inévitable.
- **Calibration de  $\gamma$**  : Le paramètre de boost temporel  $\gamma$  est actuellement choisi empiriquement ( $\gamma = 0.2$ ). Une calibration automatique basée sur l'analyse du Jacobien serait plus rigoureuse.
- **Forward warping** : Notre approche est un forward warping (particules  $\rightarrow$  grille). Un backward warping (grille  $\rightarrow$  particules) serait plus précis mais nécessite d'inverser  $T$ , instable pour les changements topologiques (apparition/disparition d'objets en UOT).

### 8.3 Extensions Futures

*Transport adaptatif par régions* : Appliquer le transport 5D uniquement sur les régions à histogrammes disjoints (déttection automatique), et transport 2D ailleurs (économie computationnelle).

*Espaces colorimétriques perceptuels* : Utiliser LAB ou HSV au lieu de RGB pour le transport 5D. La distance  $\|c - c'\|$  en LAB est perceptuellement uniforme ( $\Delta E$ ).

*Vidéos et séquences temporelles* : Étendre au transport 4D ( $x, y, t, i$ ) pour MNIST animé ou 6D ( $x, y, t, r, g, b$ ) pour vidéos couleur. Complexité  $O(N_{\text{spatial}} \cdot N_{\text{temporal}})^2$  prohibitive, nécessite décomposition.

## 9 CONCLUSION

Ce travail présente deux contributions méthodologiques pour l'interpolation d'images par Transport Optimal :

**Contribution 1 : Le Gaussian Splatting Adaptatif** résout le problème du tearing via une justification géométrique rigoureuse basée sur la condition de Nyquist-Shannon discrète et l'adaptation au Jacobien du transport. Notre heuristique avec boost temporel parabolique  $4t(1-t)$  vise à éliminer les trous tout en préservant la netteté aux bords. Validation prévue sur MNIST et images couleur.

**Contribution 2 : Le Transport 5D Joint Spatial-Couleur** capture les corrélations chromatiques ignorées par les approches marginales. Démonstration de faisabilité prévue sur images basse résolution avec analyse des artefacts couleur. Le transport 3D sur MNIST valide l'approche pour les images monochromes.

La combinaison de ces deux méthodes devrait produire des interpolations géométriquement et perceptuellement cohérentes, ouvrant la voie à des applications en morphing vidéo, génération d'images (GANs basés OT), et analyse de datasets visuels haute dimension.

Les expérimentations numériques complètes et le code source seront disponibles prochainement.

## RÉFÉRENCES

- [1] Séjourné, T., Feydy, J., Vialard, F. X., Trouv  , A., & Peyr  , G. (2019). *Sinkhorn divergences for unbalanced optimal transport*. arXiv preprint arXiv:1910.12958.
- [2] Feydy, J., Séjourn  , T., Vialard, F. X., Amari, S. I., Trouv  , A., & Peyr  , G. (2019). *Interpolating between optimal transport and MMD using Sinkhorn divergences*. In AISTATS.
- [3] Peyr  , G., & Cuturi, M. (2019). *Computational optimal transport : With applications to data science*. Foundations and Trends® in Machine Learning.
- [4] Cuturi, M. (2013). *Sinkhorn distances : Lightspeed computation of optimal transport*. NeurIPS.
- [5] Chizat, L., Peyr  , G., Schmitzer, B., & Vialard, F. X. (2018). *Scaling algorithms for unbalanced transport problems*. Mathematics of Computation.
- [6] Feydy, J., Séjourn  , T., Vialard, F. X., Amari, S. I., Trouv  , A., & Peyr  , G. (2019). *GeomLoss : A Python library for geometric learning*. GitHub : [github.com/jeanfeydy/geomloss](https://github.com/jeanfeydy/geomloss).
- [7] Charlier, B., Feydy, J., Glaunes, J. A., Collin, F. D., & Durif, G. (2021). *Kernel operations on the GPU, with autodiff, without memory overflows*. Journal of Machine Learning Research, 22(74), 1–6.

## A TRANSPORT 3D POUR MNIST (SPATIAL-INTENSIT  )

Pour les images monochromes (MNIST,  $28 \times 28$ ), la formulation 3D est plus simple et permet d'étudier le tearing de manière contrôlée.

### A.1 Repr  sentation 3D

Une image MNIST devient :

$$\alpha = \sum_{i=1}^N I(x_i, y_i) \delta_{(x_i, y_i, I(x_i, y_i))} \in \mathcal{M}_+(\mathbb{R}^3) \quad (17)$$

Le co  t hybride est :

$$C((x, y, i), (x', y', i')) = (x - x')^2 + (y - y')^2 + \lambda_I(i - i')^2 \quad (18)$$

*Interpr  tation g  om  trique* : Dans l'espace 3D  $(x, y, i)$ , une image est une **surface** (graphe de la fonction d'intensit  ). Le transport optimal d  forme cette surface. Par exemple, transformer un "1" en "0" :

- Transport 2D spatial : D  place les pixels, change l'intensit   arbitrairement (ghosting)
- Transport 3D : D  place ET modifie l'intensit   avec un co  t. Les pixels sombres du fond ne sont pas forc  s vers des pixels brillants distants.

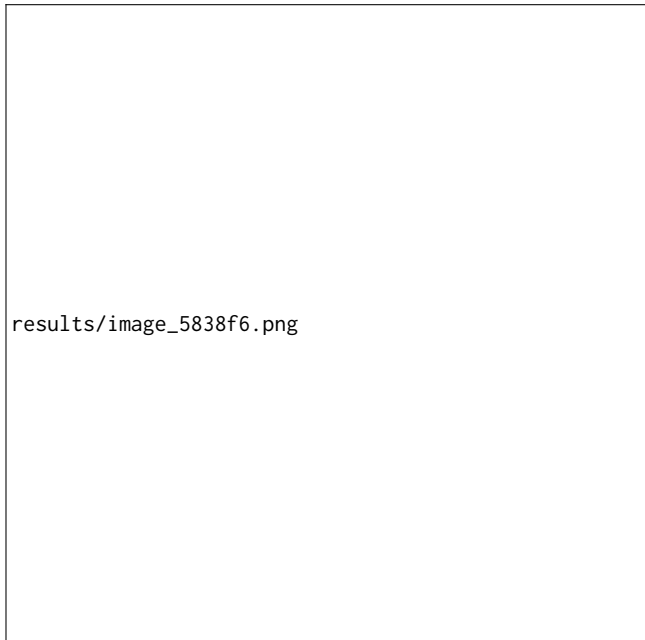
### A.2 Cas d'  tude MNIST : "1" → "0"

**Configuration :**

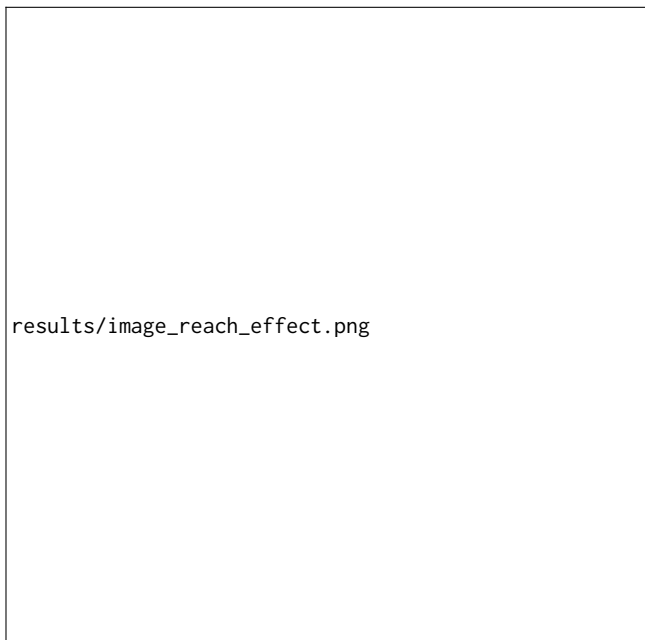
- R  solution :  $28 \times 28$
- Param  tres TO :  $\epsilon$  (blur),  $\rho$  (reach) en r  gime Unbalanced
- Poids intensit   :  $\lambda_I$  ´a calibrer
- Splatting :  $\sigma(t) = \sigma_{\text{base}} \cdot \max(1, f_{\text{exp}}) + \gamma \cdot 4t(1-t)$

**Observations attendues :**

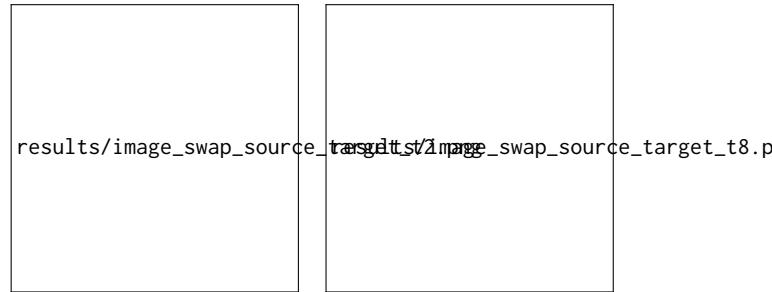
- **Transport 2D** : Tearing horizontal visible ´a  $t \approx 0.5$  lors de l'  largissement, intensit   incoh  rente
- **Transport 3D,  $\lambda_I$  faible** : G  om  trie correcte mais intensit   encore incoh  rente
- **Transport 3D,  $\lambda_I$  optimal** : G  om  trie et intensit   coh  rentes, fade progressif
- **Avec Splatting Adaptatif** : limination du tearing, transitions lisses



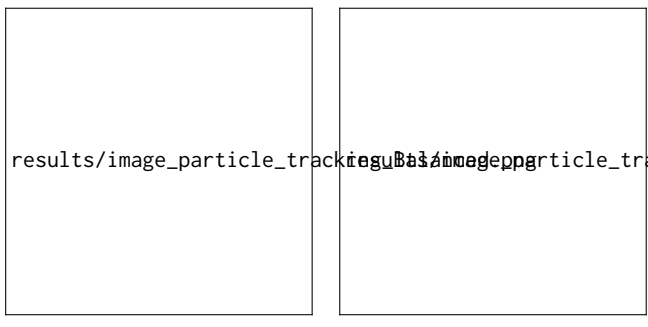
**FIGURE 3 : Comparaison des Régimes de Transport.** Droite (Balanced) : La contrainte de conservation de masse force le transport du rouge vers le bleu, créant une superposition fantomatique ("ghosting"). Milieu (Unbalanced,  $\rho = 0.1$ ) : La relaxation permet de détruire la masse rouge et créer la bleue sur place. Le mouvement géométrique est préservé (la forme se déplace) mais la couleur change naturellement par un effet de fade localisé.



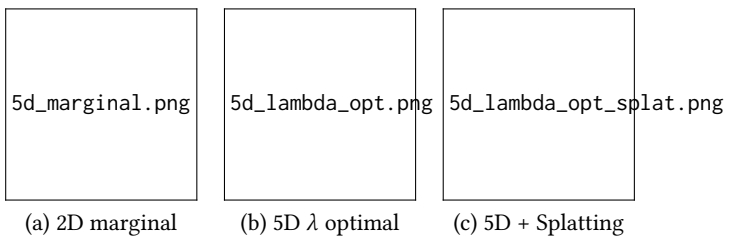
**FIGURE 4 : Impact du paramètre Reach ( $\rho$ ) à  $t = 0.5$ . De gauche à droite :  $\rho = 0.01$  (très local, quasi-superposition linéaire),  $\rho = 0.1$  (optimal, équilibre transport/fade),  $\rho = 0.5$  (trop de transport, artefacts fantômes), Balanced (transport forcé).**



**FIGURE 5 : Évolution temporelle de l'inversion Source/Cible.** Le régime Unbalanced (colonnes de droite dans chaque sous-figure) permet une transition fluide par effet de fondu géométrique, contrairement aux artefacts fantomatiques du régime Balanced.



**FIGURE 6 : Suivi de particules (Tracking) sur le canal bleu.** (a) Balanced : Les flèches longues et désordonnées (rouge) indiquent un transport forcé à longue distance pour conserver la masse, expliquant le flou cinétique. (b) Unbalanced : Les déplacements sont minimes et locaux (flèches bleues/courtes), signifiant que la masse bleue est majoritairement détruite sur place ou créée localement plutôt que transportée. Cela confirme l'hypothèse de destruction/création de couleur plutôt que de déplacement pur.



**FIGURE 7 : Comparaison visuelle attendue à  $t = 0.5$ . (a) Transport 2D : couleurs fantomatiques, trous. (b) Transport 5D : couleurs cohérentes mais tearing possible. (c) Transport 5D + Splatting adaptatif : résultat optimal attendu.**



Prénom Nom